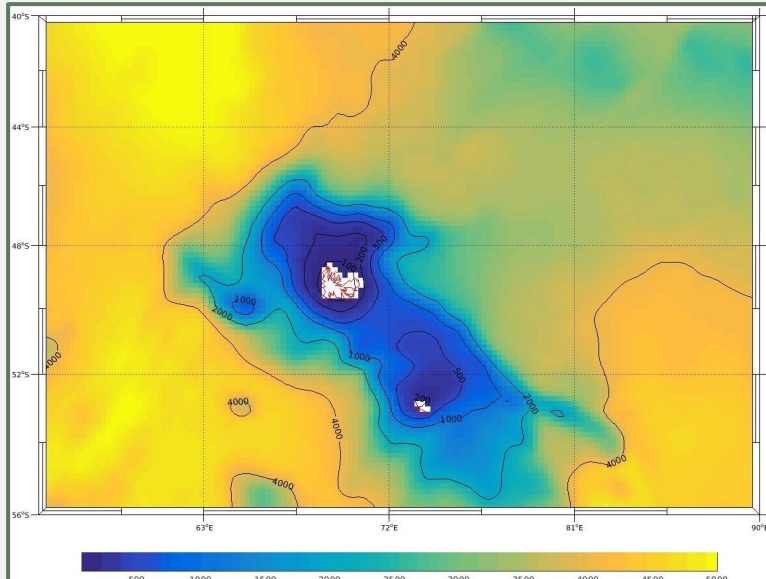


Étude du Front polaire aux alentours de Kerguelen à l'aide du modèle CROCO



Bathymétrie de la zone modélisée

LEMASSON Pierrick

M1 Sciences de la mer

Parcours Océanographie Physique et Biogéochimique

UE : OPB 205
'Modélisation 3D Océanique'

Le Plateau de Kerguelen

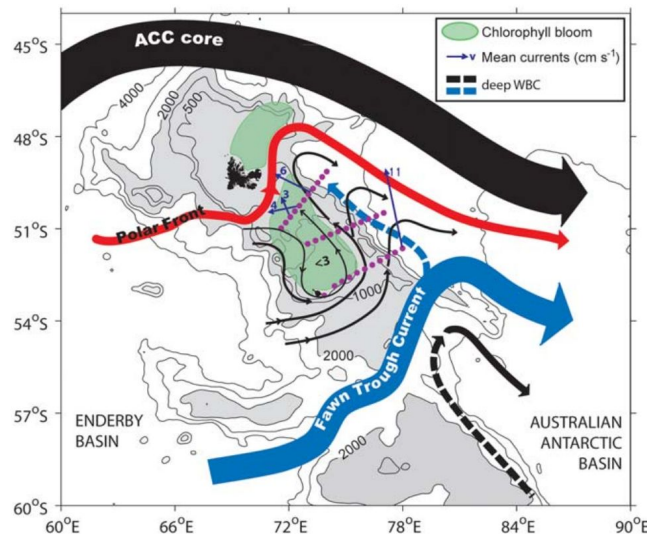


Fig.1: Schéma de circulation du CCA à travers le plateau.
[Park et al., 2014]

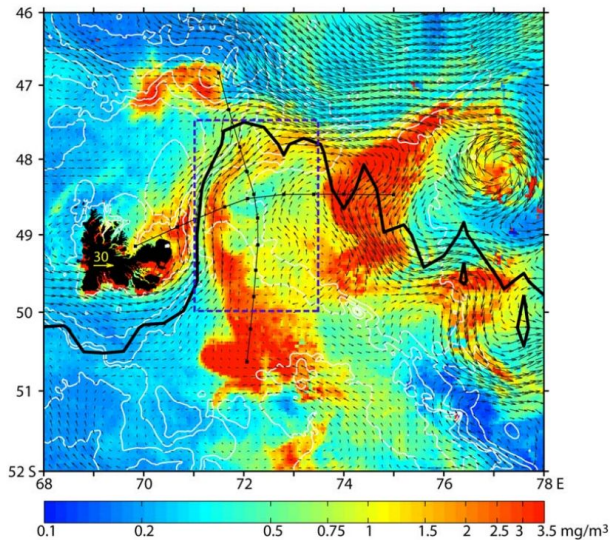
→ Océan Austral

- 70°E
- Obstacle quasi méridional
- HNLC

→ Une région importante :

- Apport de fer
- Intensification de production primaire

Le Front Polaire



→ Le Front Polaire:

- Limite Nord de température $\leq 2^{\circ}\text{C}$ en subsurface
- Association avec une bande de courant du CCA

Fig.2: Image satellite composite de chlorophylle α (en mg/m^3)
Champs de vitesse en surface moyens
[Park et al., 2014]

Le modèle CROCO

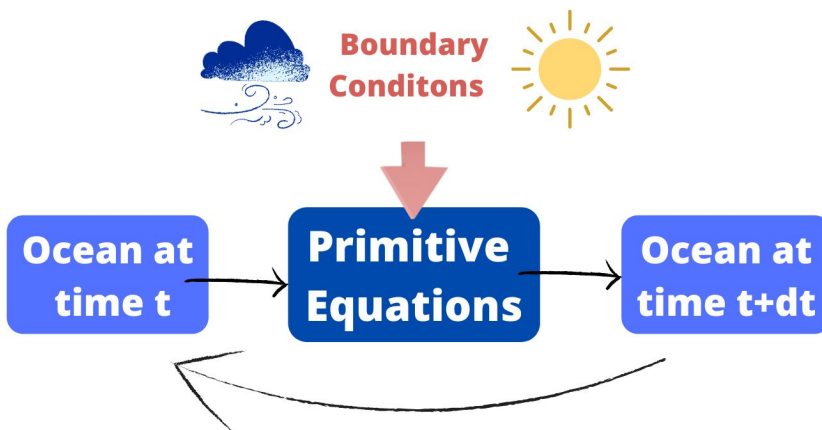
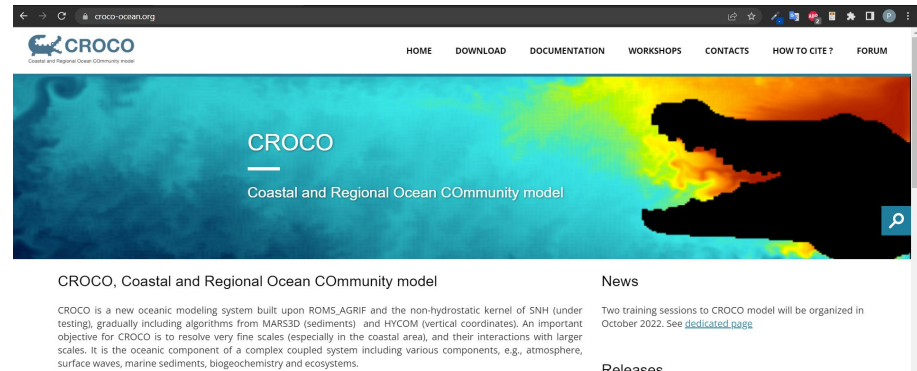


Fig.3: Principe d'un modèle numérique océanique



Le modèle CROCO

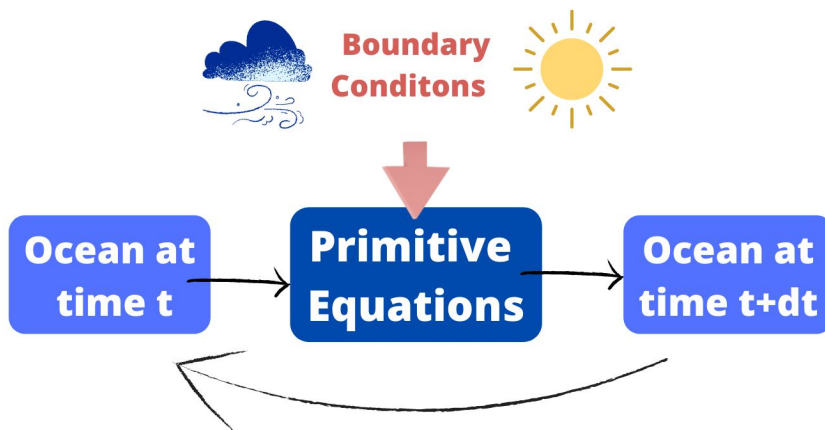


Fig.3: Principe d'un modèle numérique océanique



→ Conditions Initiales et de frontières :

- Data set globaux
- WOA2009
- Topo
- COADS5

Le modèle CROCO

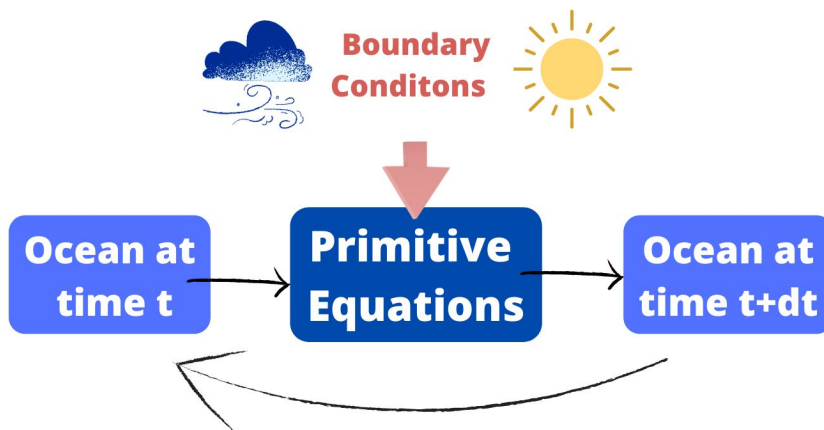


Fig.3: Principe d'un modèle numérique océanique



→ Équations primitives :

$$\left\{ \begin{array}{l} \frac{\partial u}{\partial t} + \vec{V} \cdot \vec{\nabla} u = fv - \frac{1}{\rho_0} \frac{\partial P}{\partial x} + A_h \cdot \nabla_h^2 u + A_z \cdot \frac{\partial^2 u}{\partial z^2} \\ \frac{\partial v}{\partial t} + \vec{V} \cdot \vec{\nabla} v = -fu - \frac{1}{\rho_0} \frac{\partial P}{\partial y} + A_h \cdot \nabla_h^2 v + A_z \cdot \frac{\partial^2 v}{\partial z^2} \\ \frac{\partial P}{\partial z} + \rho g = 0 \end{array} \right.$$

$$\frac{\partial u}{\partial x} + \frac{\partial v}{\partial y} + \frac{\partial w}{\partial z} = 0$$

$$\left\{ \begin{array}{l} \frac{\partial T}{\partial t} + \vec{V} \cdot \vec{\nabla} T = K_h \nabla_h^2 T + K_v \frac{\partial^2 T}{\partial z^2} \\ \frac{\partial S}{\partial t} + \vec{V} \cdot \vec{\nabla} S = K_h \nabla_h^2 S + K_v \frac{\partial^2 S}{\partial z^2} \end{array} \right.$$

$$\rho = \rho(T, S, P)$$

Discrétisation horizontale

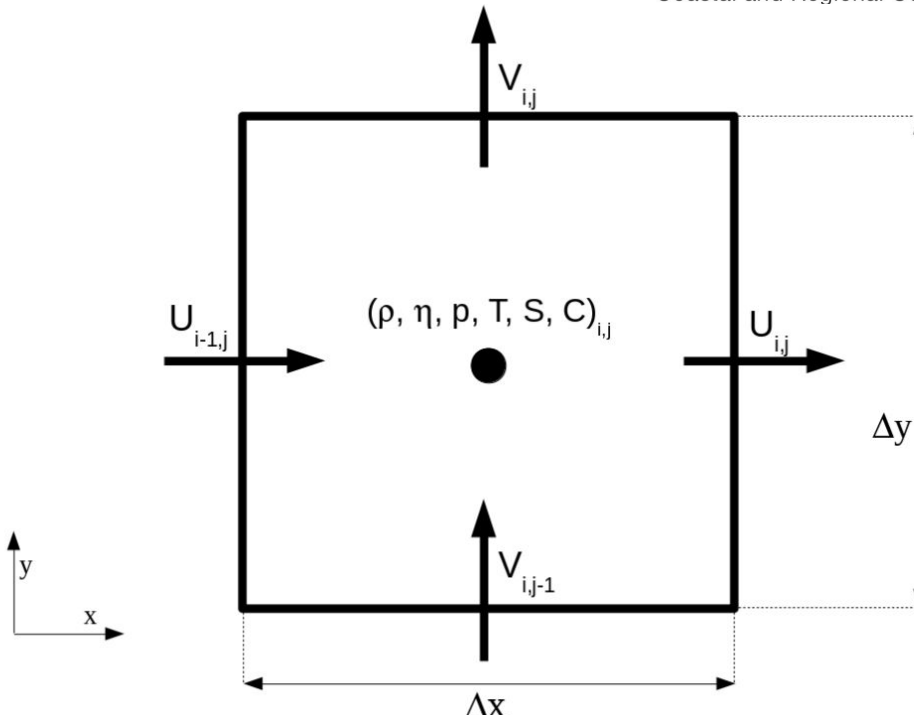


Fig.4: Grille Arakawa-C

Discrétisation vertical

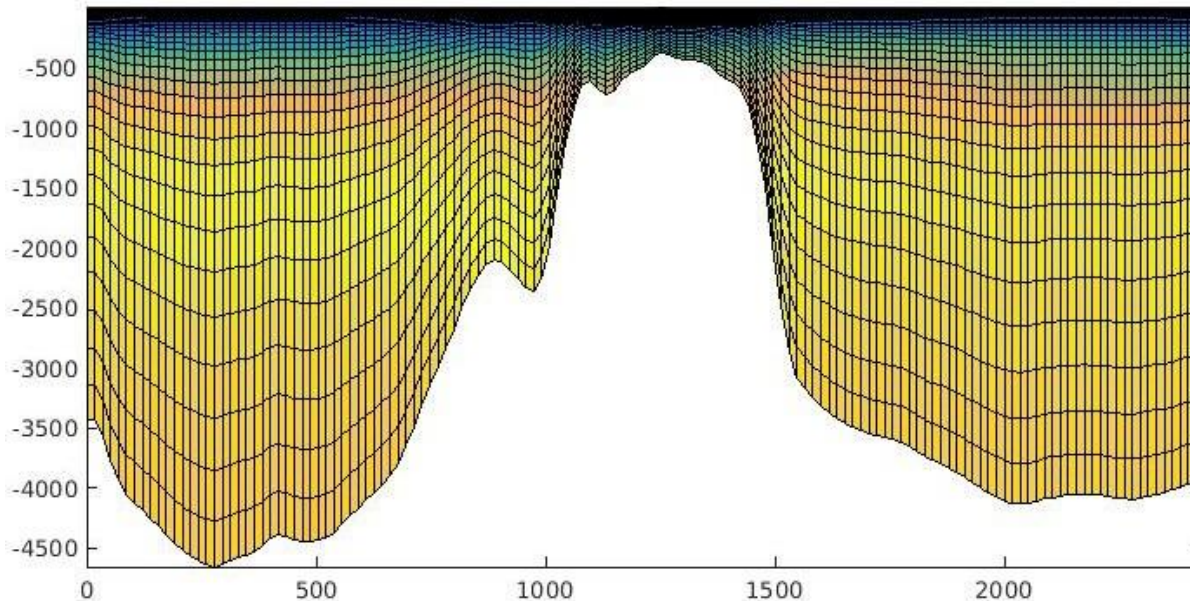


Fig.5: Modèle de 'terrain following' ou de coordonnées sigma

‘Time-splitting’

$$\Delta t \leq \frac{1}{\sqrt{gH}} \sqrt{\left(\frac{1}{\Delta x^2} + \frac{1}{\Delta y^2}\right)}$$

Fig.5: Contrainte sur le pas de temps en mode externe



$$\mathcal{C} = \frac{u\Delta t}{\Delta x} \leq 1$$

Condition CFL

→ Mode ‘externe’ :

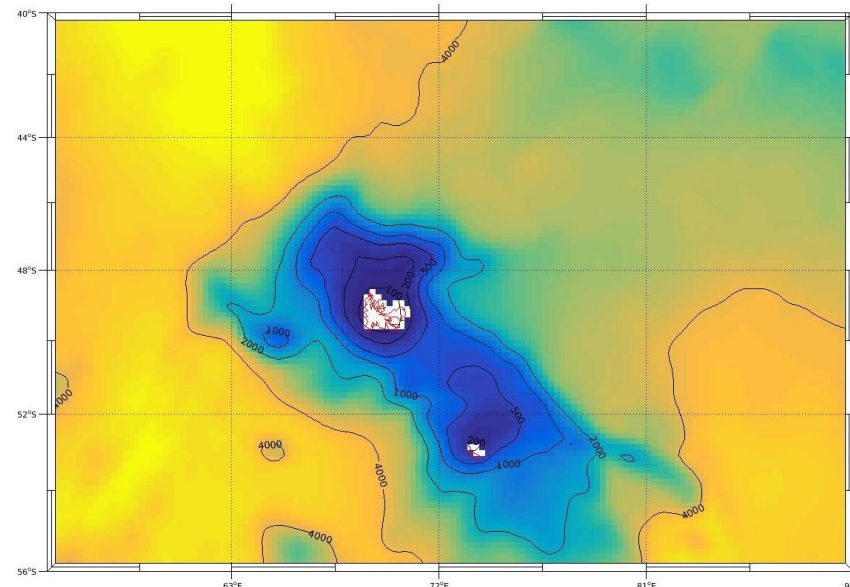
- DTE

→ Mode ‘interne’ :

- DTI
- NTDFAST

Configurations spatiales

Lat min	Lat max	Long min	Long max	LLm	MMm	Niveaux	Résolution
-56°N	-40°N	55°E	90°E	139	96	32	¼ °

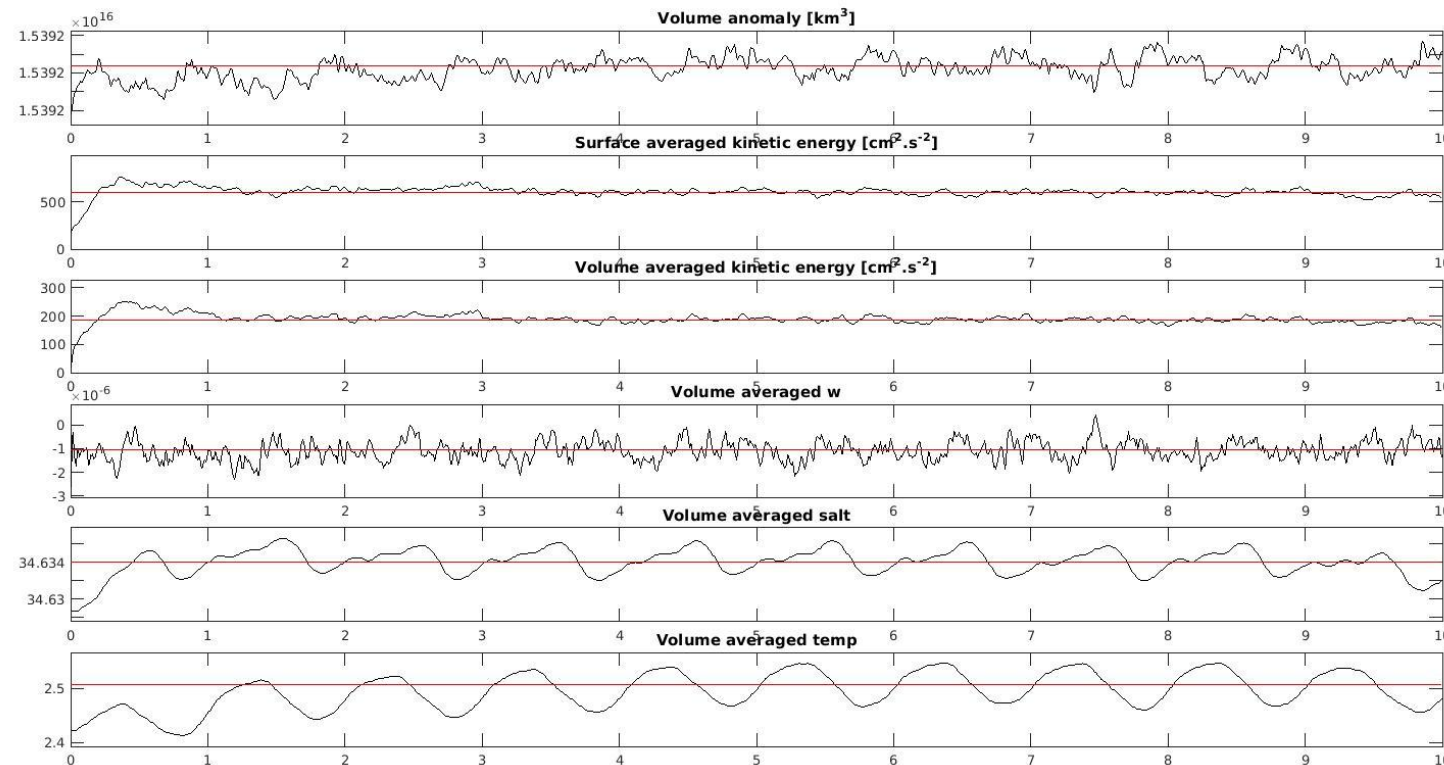


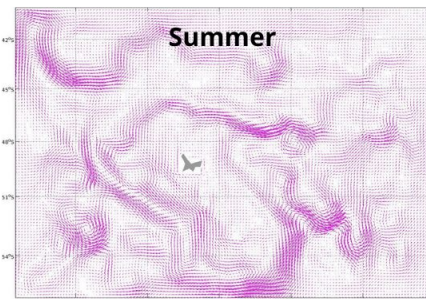
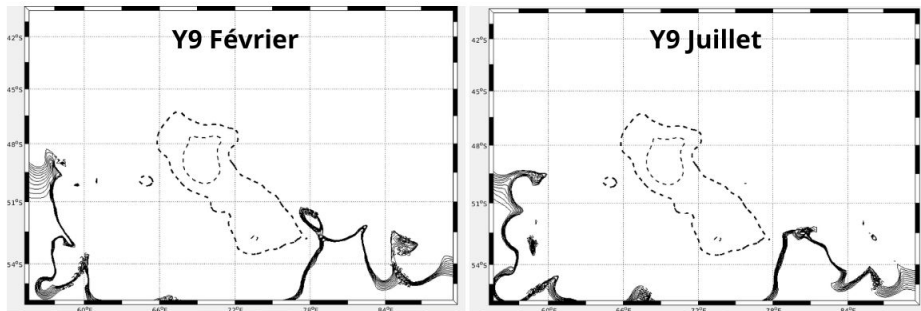
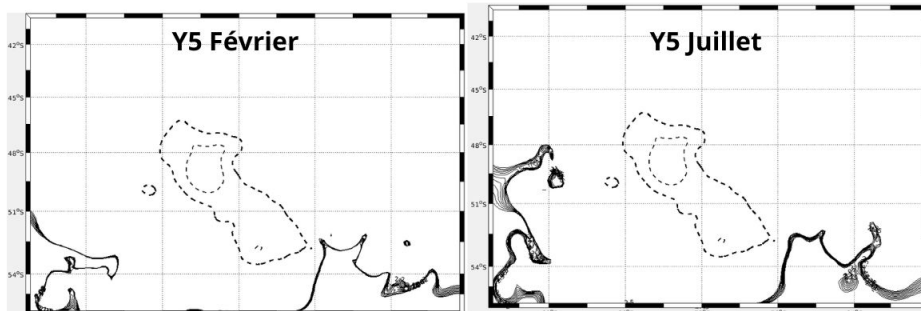
Configurations temporelles

Lat min	Lat max	Long min	Long max	LLm	MMm	Niveaux	Résolution
-56°N	-40°N	55°E	90°E	139	96	32	¼ °

Durée	NTIMES	NDTFAST	DTE	DTI	AVG
10 ans	1800	60	24sec	1440sec	3 jours

Diagnostics





Mean surface velocity field

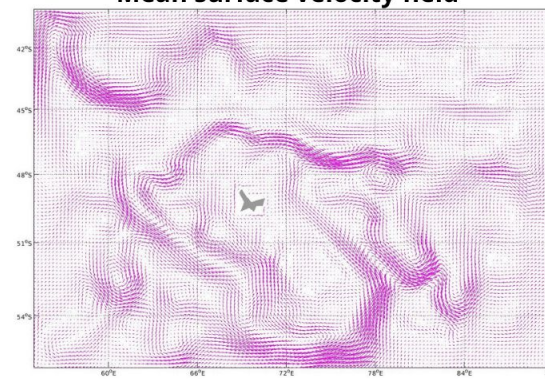
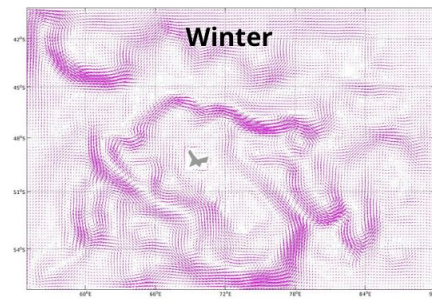


Fig.6: Variations interannuelles et saisonnières des sorties du modèle (Front Polaire, Champs de vitesses de surface moyens)

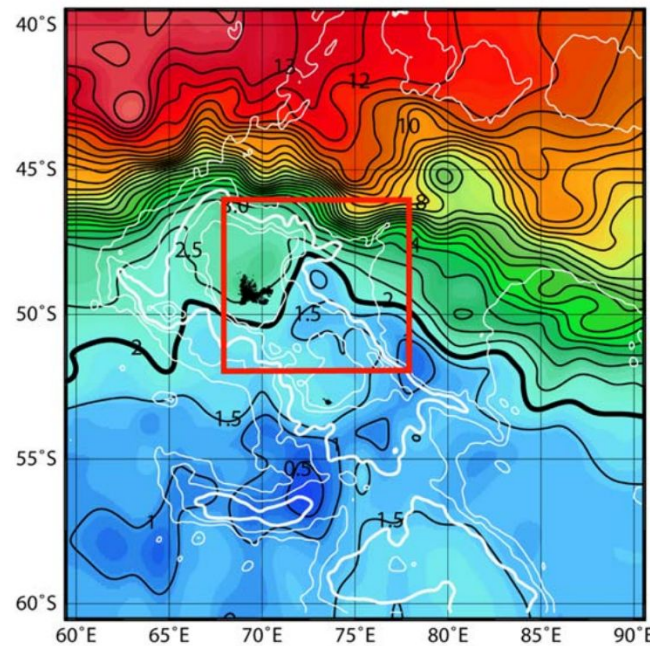
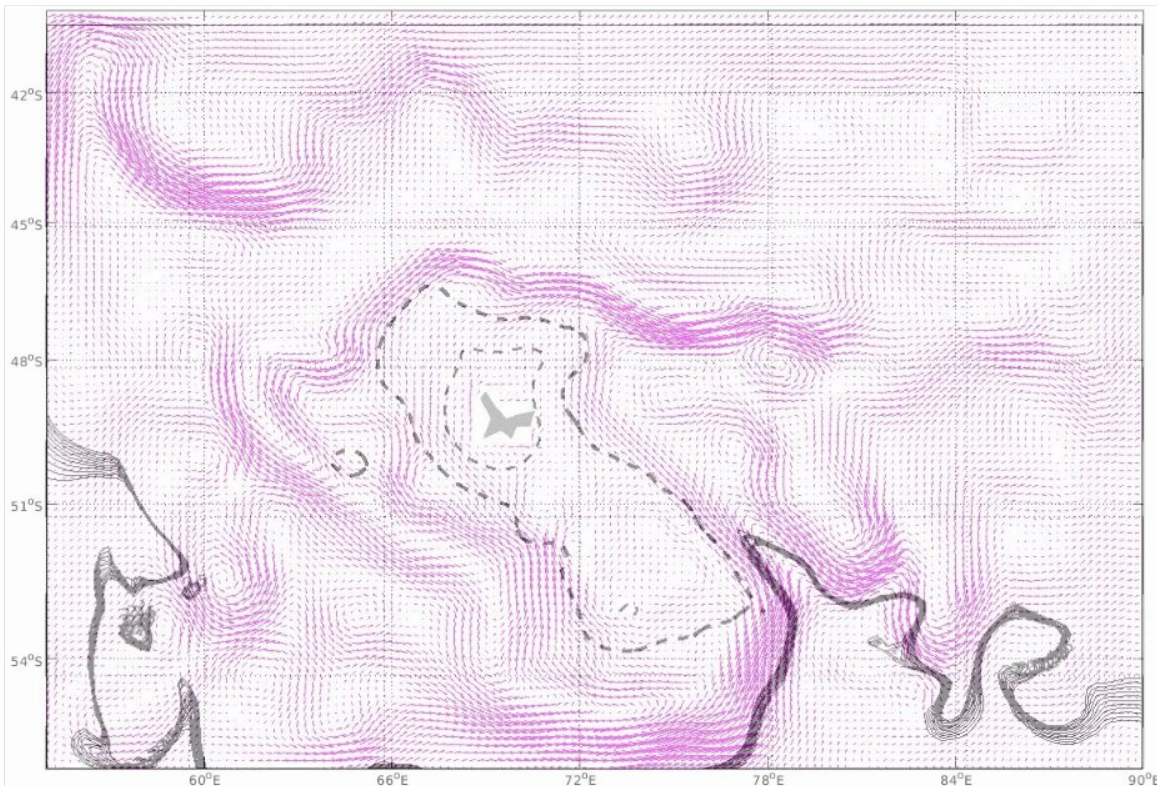
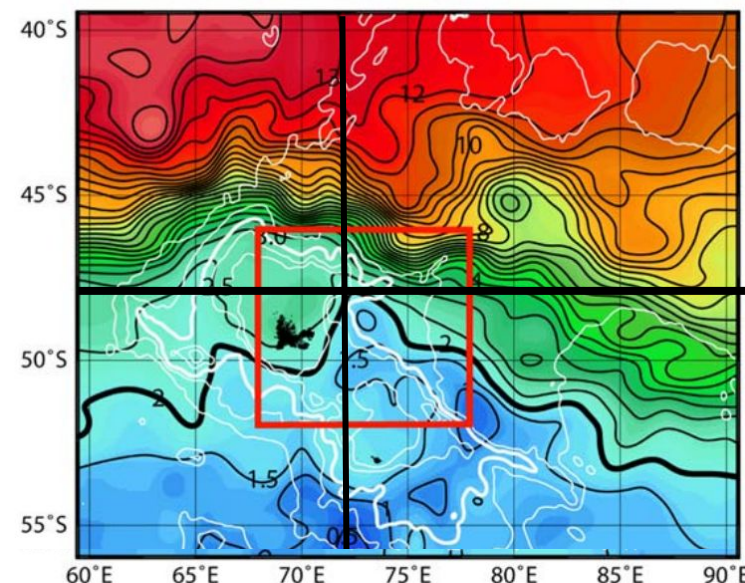
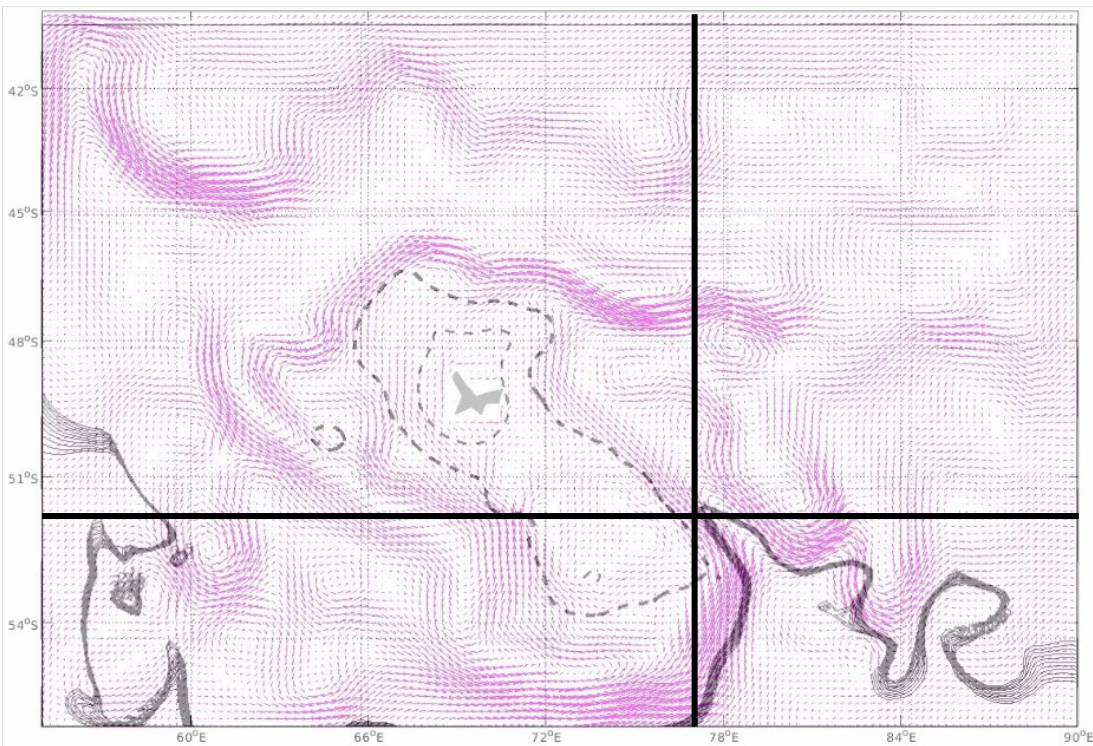
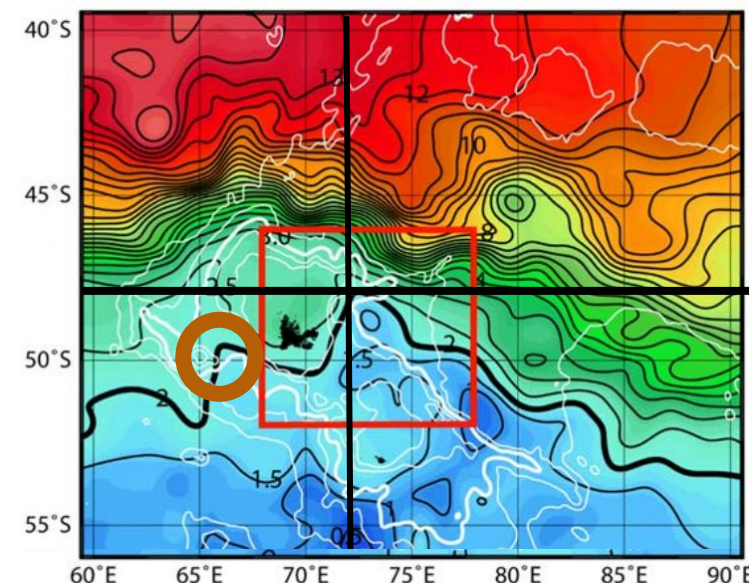
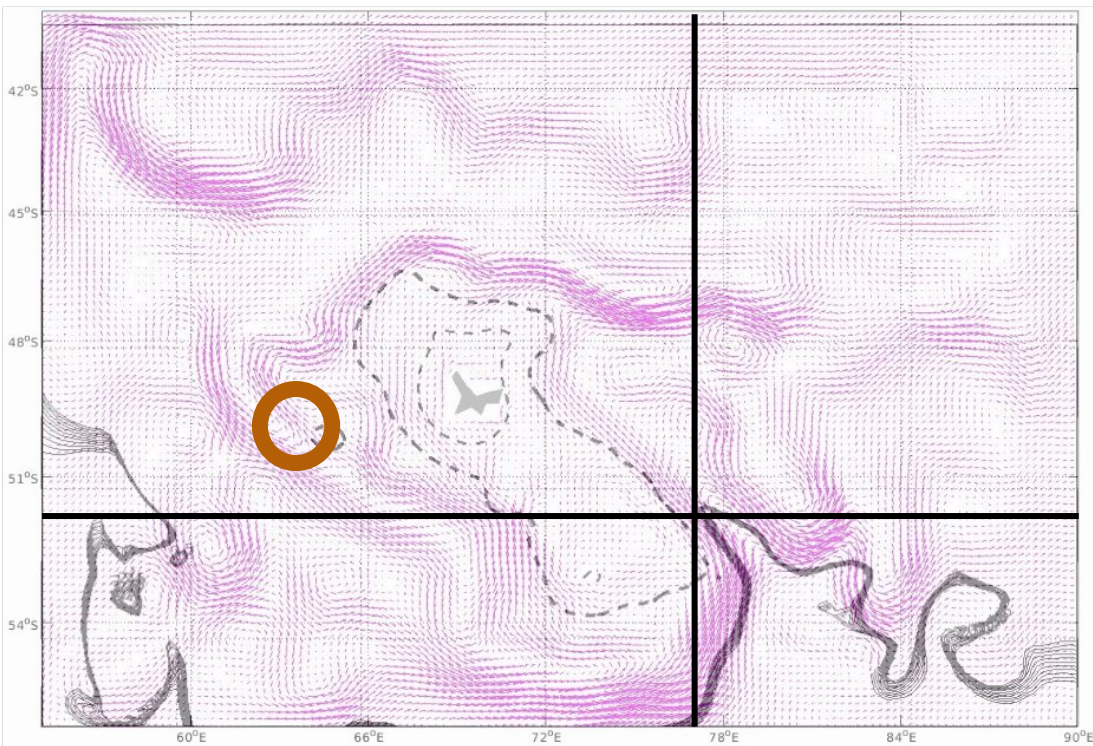
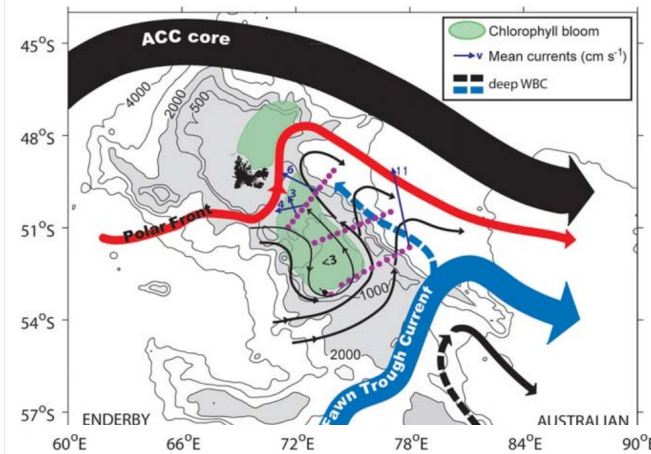
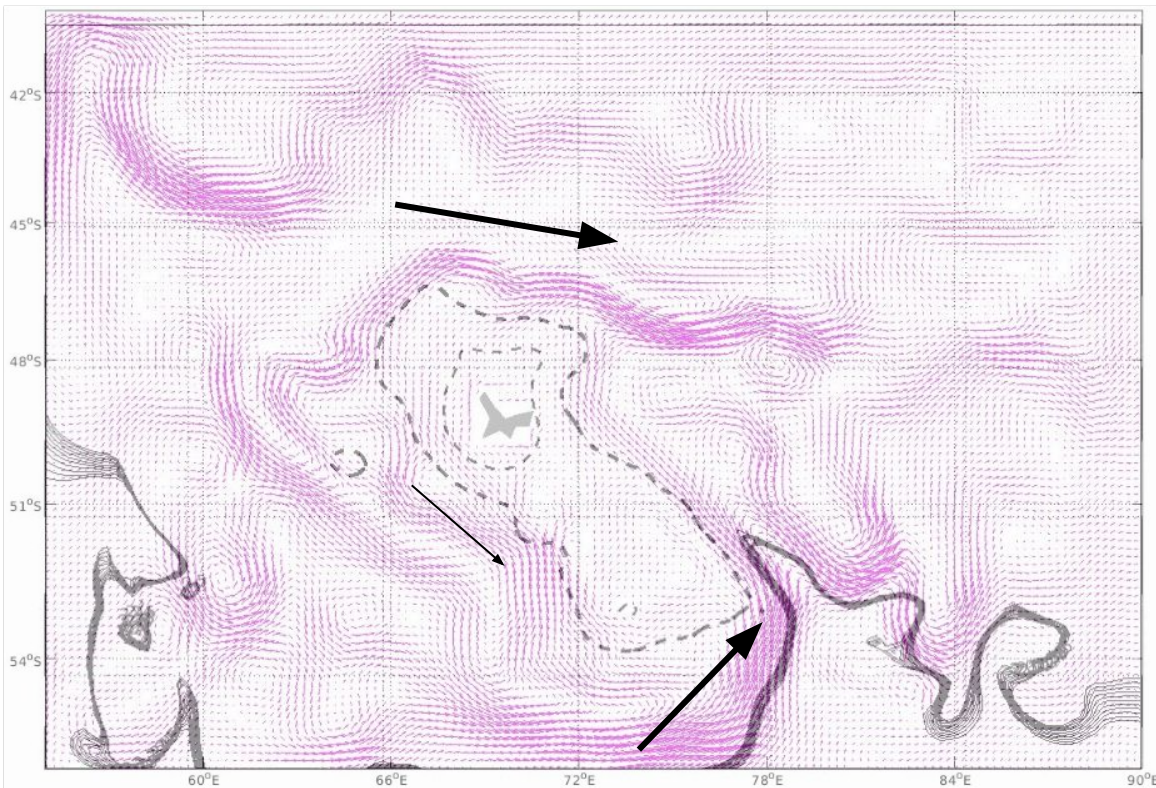


Fig.7: Position du front polaire et température de subsurface (200m) [Park et al., 2014]







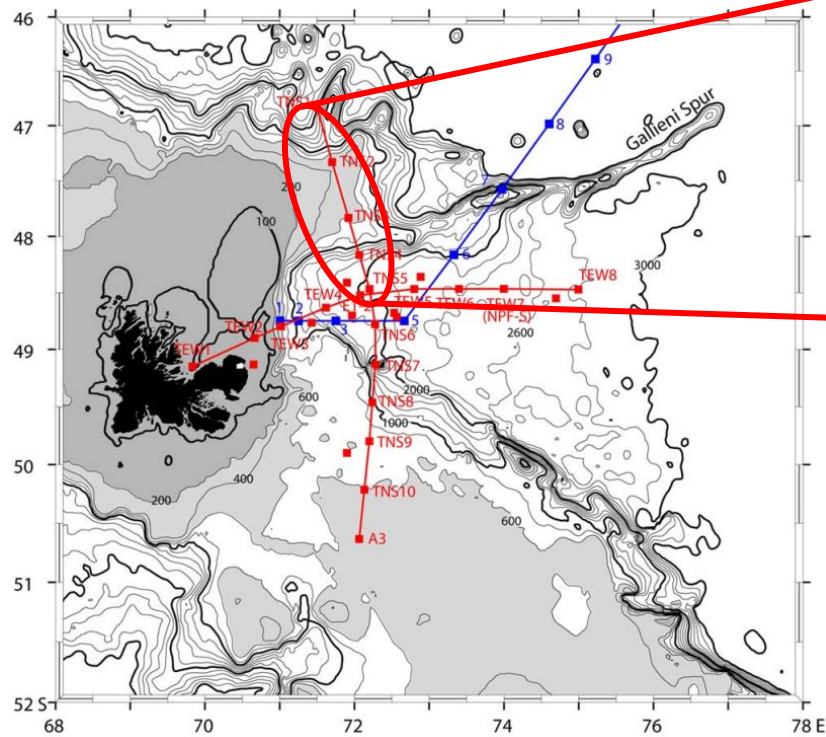
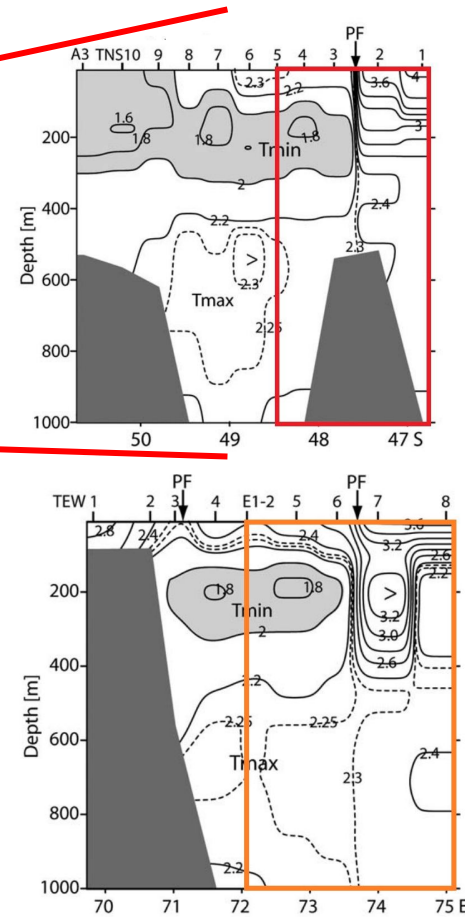


Fig.8: Carte de campagne mission KEOPS2
Sections verticales de température
[Park et al., 2014]



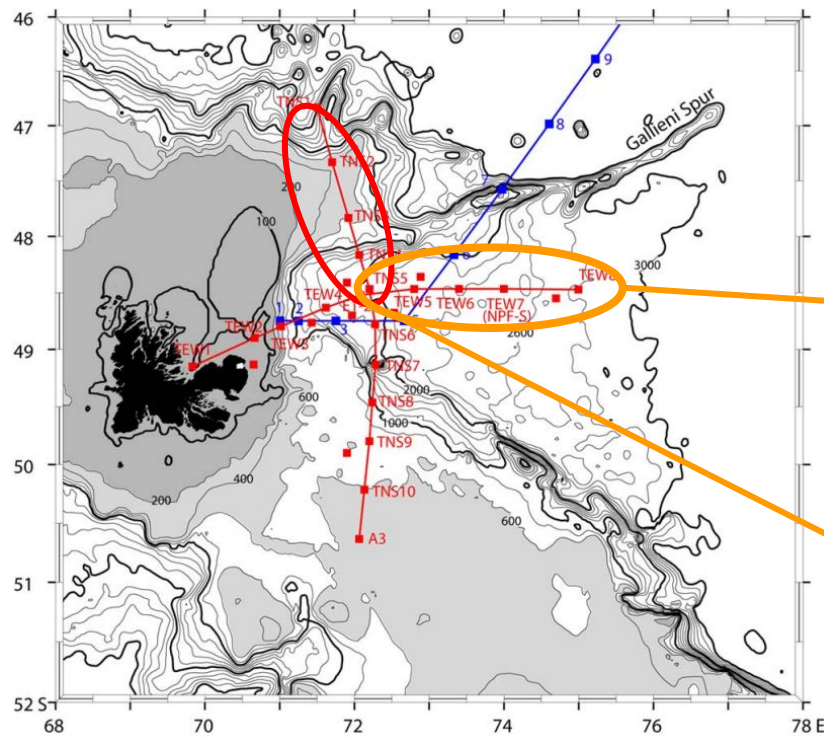
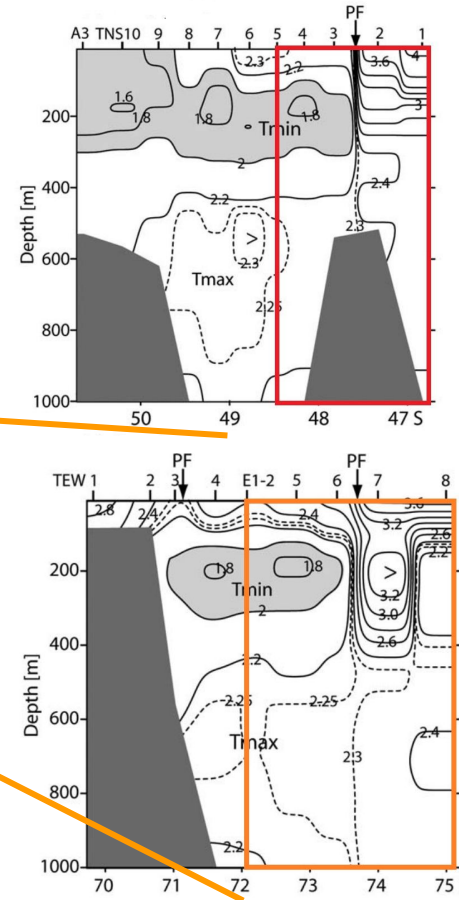
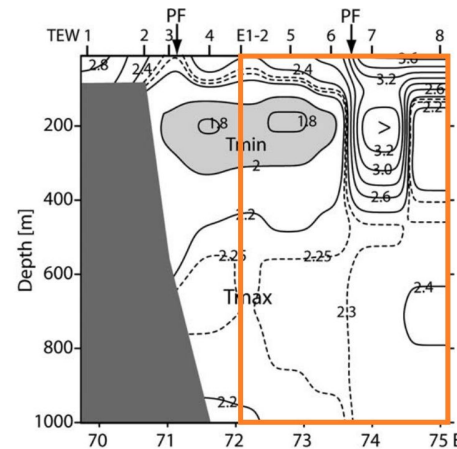
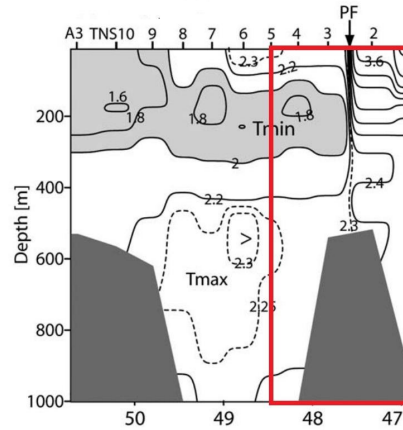
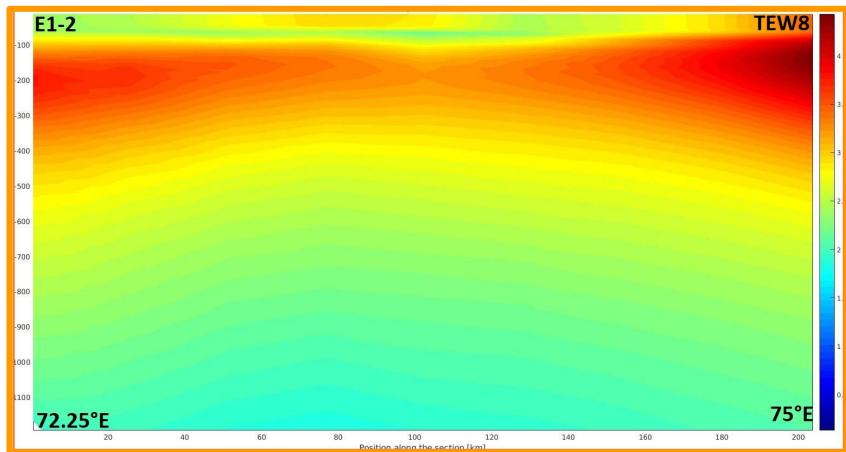
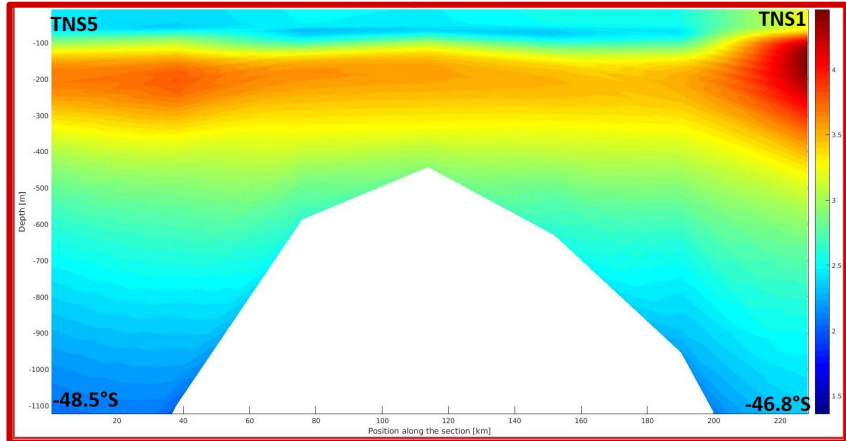
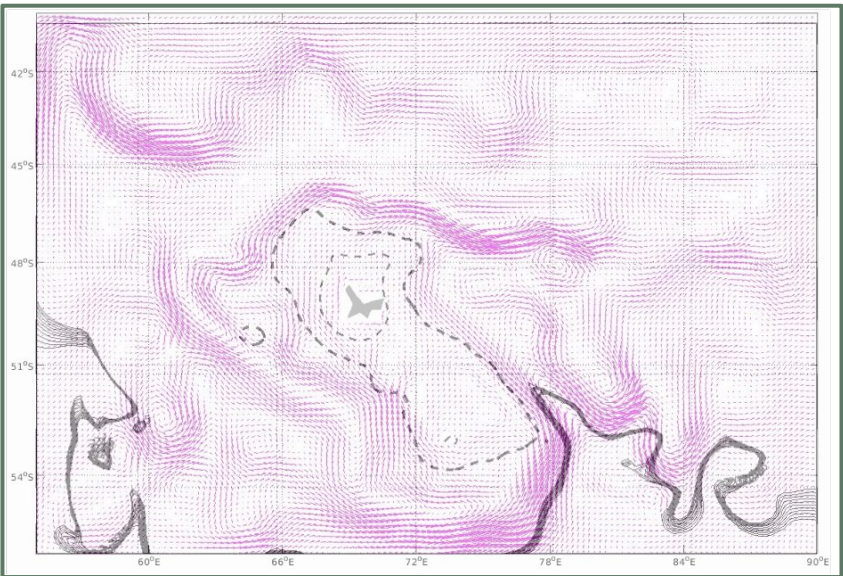


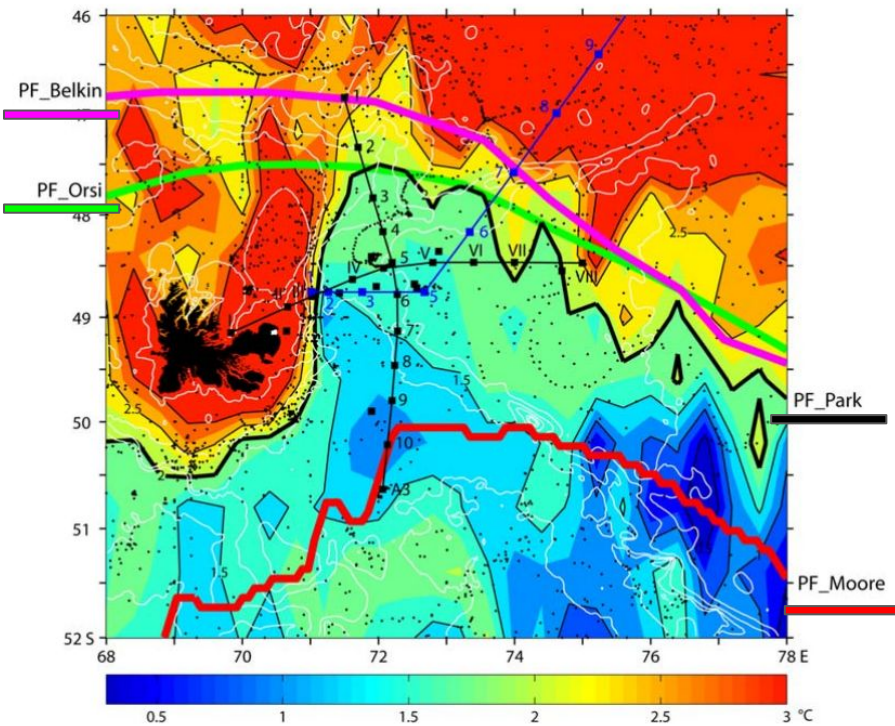
Fig.8: Carte de campagne mission KEOPS2
Sections verticales de température
[Park et al., 2014]



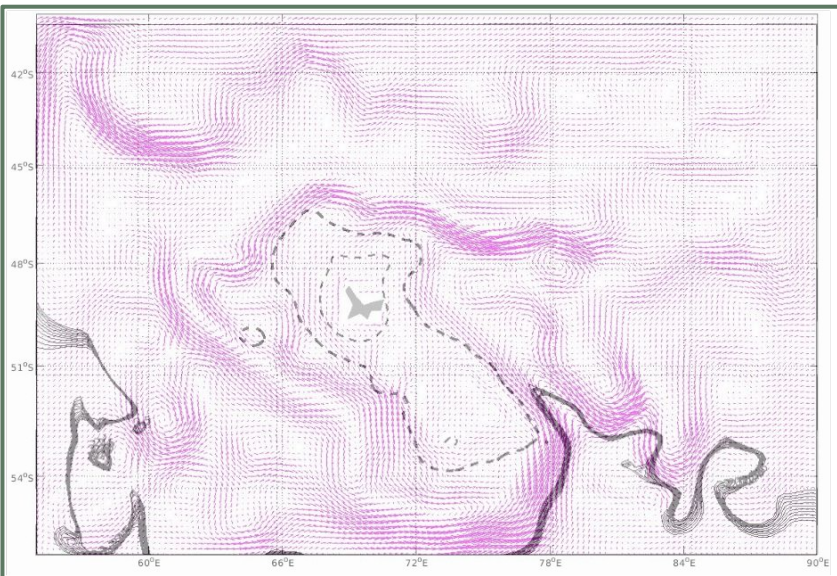




- Peu de variations des années 'types' simulées
- Représentation fidèle du CCA
- Dérive Sud-Est du front polaire



- Peu de variations des années types
- Représentation fidèle du CCA
- Dérive Sud-Est du front polaire
- Hypothèses :
 - Conditions initiales
 - Subdivision du front polaire
[M.Fieux, 2010]



- Peu de variations des années types
- Représentation fidèle du CCA
- Dérive Sud-Est du front polaire
- Hypothèses :
 - Conditions initiales
 - Subdivision du front polaire
[M.Fieux, 2010]
- En plus :
 - Fermeture de la turbulence
 - Couplage biogéochimie
 - Nouvelles conditions initiales

Bibliographie & Ressources

- [B.Queguiner, 2011] B.Queguiner (2011). Keops 2 cruise, marion dufresne.
- [Large et al., 1994] Large et al. (1994). Oceanic vertical mixing :review and a model with a nonlocal boundary layer parameterization. *Reviews of Geophysics*, 32.
- [M.Fieux, 2010] M.Fieux (2010). L'océan planétaire. *La Presse de L'ENSTA*.
- [Park et al., 2014] Park et al. (2014). Polar front around the kerguelen islands : An up-to-date determination and associated circulation of surface/subsurface waters. *Geophysical Research*, 119(10):6575–6592.

« CROCO and CROCO-TOOLS are provided by <http://www.croco-ocean.org> »